

연구 노트

04.01

- 수행 계획서 제출
- 주제: 소행성 3D 형상 모델링
- 선행 연구 조사:
 - NASA- Deep Asteroid Software Model
 - THOR(Tracklet-less Heliocentric Orbit Recovery)
 - ATLAS
 - KOALA(Knitted Occultation, Adaptive-optics, and Lightcurve Analysis)
 - ADAM

04.29

- 문제점: 소행성 3D 형상 모델의 경우 광도곡선 역산법의 등장 이래로 유의미한 발전을 이룩하지 못하였으며, THOR의 경우 30일간의 지속적인 관측데이터가 요구되는 등 소행성에 대한 세부적인 분석에 있어서 한계를 가진다.
→ LSTM, GAN 등의 적절한 융합으로 광도곡선 to 소행성 모델링이 가능하지 않을까?
- 조사
 - 1. GAN
 - 두 네트워크 G , D 가 번갈아가며 경쟁적으로 **Unsupervised learning**:
 - *Generator*: Random noise로부터 데이터 생성
 - *Discriminator*: G 출력의 진위 여부 판별
 - G : 정규분포에서 추출한 무작위 텐서로부터 실제 데이터의 복잡한 분포 학습.

- 학습이 불안정함. 대규모 데이터셋으로 학습시키기 힘들.
- 비지도학습의 한 종류지만 **cGAN**은 지도학습에 활용될 수 있다.

이미지는 고차원(x, y, channel) latent space에서의 한 점으로 표현된다. 즉 생성하고자 하는 이미지

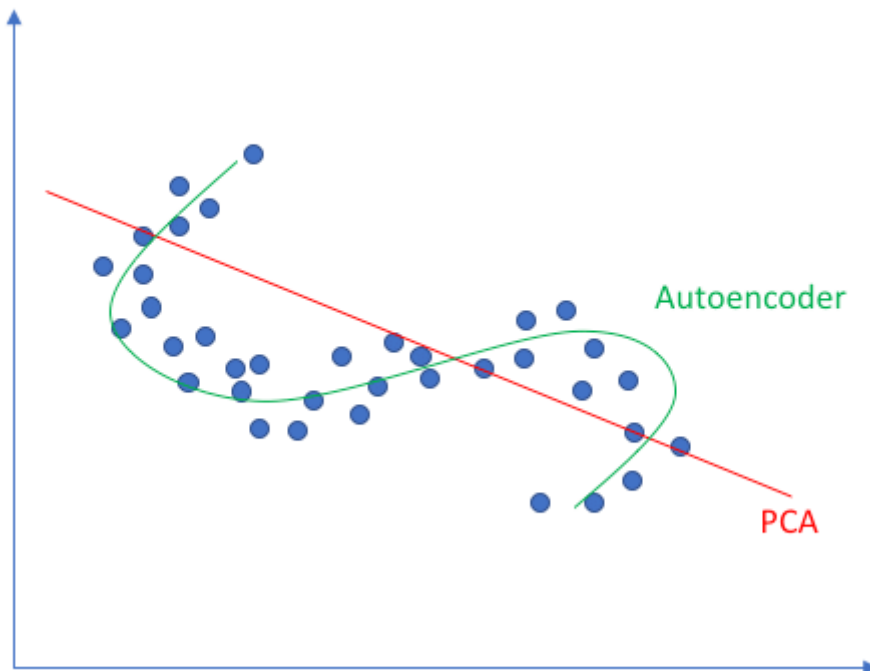
의 feature는 latent space에서 다변수 확률분포를 나타낼 수 있는데, GAN(Generative Adversarial Network)은 이를 이용하여 Generator를 출력하고자 하는 이미지의 확률분포에 수렴시키는 것을 목표로 한다. GAN은 Generator(G) 신경망과 Discriminator(D) 신경망을 경쟁적으로 번갈아가며 학습시키므로써 데이터셋으로부터 원하는 자료를 생성할 수 있도록 하며 목적함수는 아래와 같다.

$$\min_G \max_D V(D, G) = \mathbb{E}_{x \sim p_{data}(x)} [\log D(x)] + \mathbb{E}_{z \sim p_z(z)} [\log (1 - D(G(z)))]$$

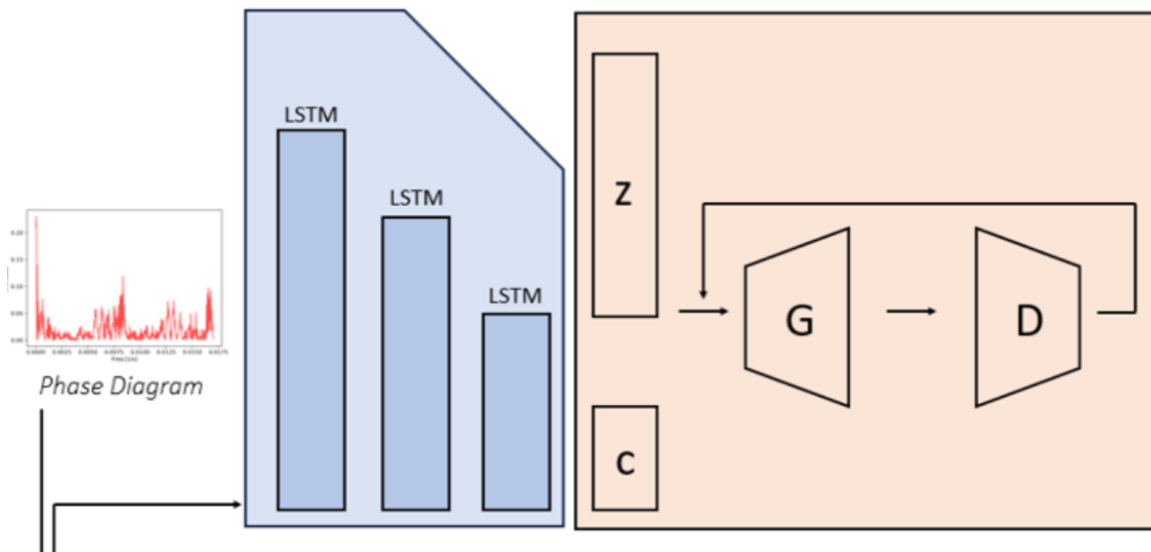
D는 데이터셋의 확률분포 $p_{data}(x)$ 로부터 x 를 샘플링하는 사건에 대한 로그값의 평균을 통해 얼마나 데이터셋과 유사한지 0과 1 사이 값으로 평가하고, G는 Noise $p_z(z)$ 로부터 D를 통해 실제 데이터의 분포에 근사시킴을 알 수 있다. GAN은 데이터셋의 분포만 사용하기에 비지도학습으로 분류되며 학습 이후 G만 사용한다. 한편 cGAN은 정규분포에서 샘플링한 z 벡터에 conditioning 벡터를 추가하여 GAN의 학습방향을 지도한다.

- AE
 - Reconstruction Loss: AE의 Loss
 - 신경망 차원을 줄이다가 키움으로써 Bottleneck을 유도하여 feature 압축.
→ latent vector/variable/feature/code, hidden representation
 - x 가 Input이자 Label이다.
 - PCA와 달리 비선형적으로 차원을 축소시킴.

Linear vs nonlinear dimensionality reduction



- AI 모델 구상



[LSTM-AE와 3D-cGAN을 연결한 전체 아키텍처]

3D-VAE-GAN은 VAE의 Decoder와 GAN의 Generator가 연결되어 있는 구조로, Encoder E , Decoder이자 Generator G , Discriminator D 로 구성된다.

- 2D Image와 그에 대응되는 3D 모델로 **supervised learning**, E 와 G 학습.
- Mesh: 채색을 위한 grid. 더 복잡하고 유연한 형상을 가짐.

05.28

- KASI 컨설팅
- 용어 정리
- Filter: Operation toward tensor data types: img, vid, ...
- Noise는 고주파 성분으로, LPF를 통해 걸러낸다.
- HPF는 고주파 성분에 해당하는 edge를 강화하고 저주파 성분에 해당하는 background를 지운다.
 - e.g. Laplacian filter: 이계도함수를 이용하기에 noise에 민감해서 충분히 blurring한 후 사용해야.
- Edge detection은 gradient만으로도 꽤 잘 됨.
- Bandpass filter: 특정 구간의 주파수 성분만 통과시킴.
- Notch filter: 특정 구간의 주파수 성분만 차단시킴.
- Gradient Removal/Elimination: unwanted gradient나 background variation을 제거.

06.07

(126) Velleda, (130) Elektra 원격 관측 제안서 DOAO NYSC에 제출.

07.07

Ellipsoid fitting 코드 작성

```

import os

import numpy as np

import trimesh

from scipy.optimize import least_squares

from scipy.spatial.transform import Rotation as R

from tqdm import tqdm

import concurrent.futures

import multiprocessing

# 1. Ellipsoid 피팅 함수 정의

def ellipsoid_model(params, x, y, z):

    a, b, c = params[0:3]

    cx, cy, cz = params[3:6]

    alpha, beta, gamma = params[6:9]

    R_mat = R.from_euler('xyz', [alpha, beta, gamma]).as_matrix()

    xyz = np.vstack((x - cx, y - cy, z - cz))

    rotated_xyz = R_mat @ xyz

    X, Y, Z = rotated_xyz

    return (X / a)**2 + (Y / b)**2 + (Z / c)**2 - 1

# Ellipsoid 피팅 함수 정의

def fit_ellipsoid(points):

    x, y, z = points[:, 0], points[:, 1], points[:, 2]

    a0, b0, c0 = np.std(x), np.std(y), np.std(z)

    cx0, cy0, cz0 = np.mean(x), np.mean(y), np.mean(z)

    angles0 = [0, 0, 0]

    initial_params = [a0, b0, c0, cx0, cy0, cz0] + angles0

```

```

# 매개변수 경계 설정

lower_bounds = [1e-3, 1e-3, 1e-3, -np.inf, -np.inf, -np.inf, -np.pi, -np.pi,
                -np.pi]

upper_bounds = [np.inf, np.inf, np.inf, np.inf, np.inf, np.inf, np.pi,
                np.pi, np.pi]

result = least_squares(ellipsoid_model, initial_params, args=(x, y, z),
                      bounds=(lower_bounds, upper_bounds))

return result.x

# 파일 처리 함수 정의 (Ellipsoid만 변환)

def process_file(obj_file):

    try:

        # 각 출력 파일의 경로 설정

        ellipsoid_path = os.path.join(output_dirs['ellipsoid'],
                                       obj_file.replace('.obj', '_ellipsoid.npy'))

        file_path = os.path.join(input_directory, obj_file)

        mesh = trimesh.load(file_path)

        points = mesh.vertices

        # Ellipsoid 변환 및 저장

        ellipsoid_params = fit_ellipsoid(points)

        np.save(ellipsoid_path, ellipsoid_params)

    except Exception as e:

        print(f"Error processing {obj_file}: {e}")

if __name__ == "__main__":

    # 경로 설정

    input_directory = '/content/drive/MyDrive/output_data_2' # Colab 환경에 맞게
    수정하세요

    output_dirs = {

```

```
'ellipsoid': '/content/drive/MyDrive/output_ellipsoid'

}

# 결과를 저장할 폴더 생성

for key, path in output_dirs.items():

    if not os.path.exists(path):

        os.makedirs(path)

# obj 파일 리스트 가져오기

obj_files = [f for f in os.listdir(input_directory) if f.endswith('.obj')]

# 병렬 처리 실행

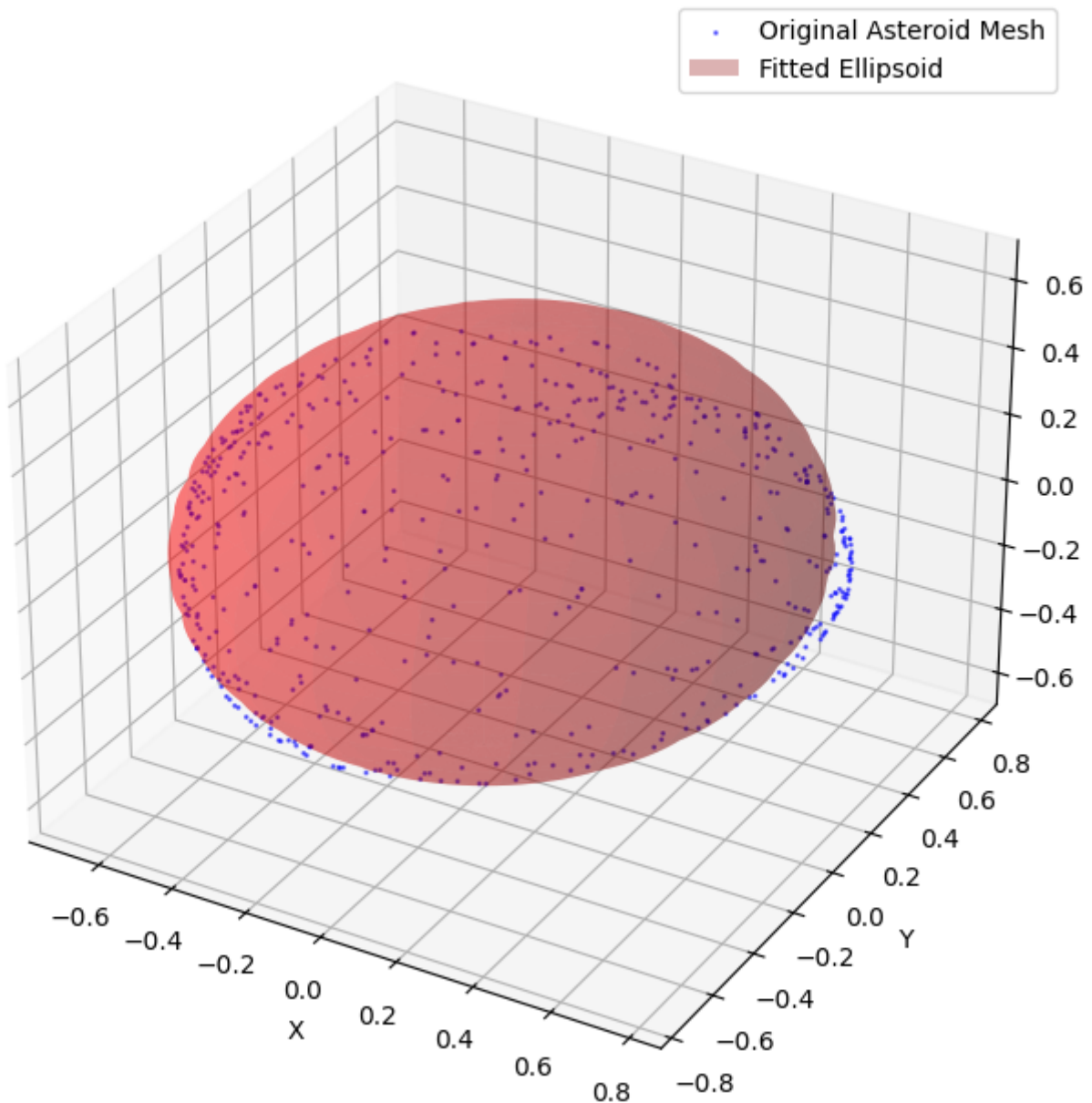
num_workers = multiprocessing.cpu_count()

# Colab 환경에서는 ThreadPoolExecutor를 사용하는 것이 더 안정적일 수 있습니다.

with concurrent.futures.ThreadPoolExecutor(max_workers=num_workers) as executor:

    list(tqdm(executor.map(process_file, obj_files), total=len(obj_files),
desc="Processing .obj files"))
```

Comparison of Original Mesh and Fitted Ellipsoid



08.06

- Elektra 원격 관측 수행.
- Dark, Bias, Flat 추가 관측.

08.20 KASI 2차 방문

아예 png로 이미지로 그냥 가버리는 것보다, lightcurve inversion 자체의 inductive bias를 활용하는 건 어떨까?

MLP를 사용할 수 있는데, 최근에 발표된 KAN을 사용하면 feature attribution score 등 interpretable하다는 특징을 적극적으로 활용하여 더 깊은 분석이 가능해보인다.

09.25~10.05

- 타원체 근사에 대한 lightcurve inversion 유도

소행성에서 Lambertian 반사 및 균일한 알베도를 가정했을 때, 관측된 밝기 \$ B

와 사영된 영역 \$ A(\theta, \phi) \$가 비례한다고 알려져 있다. 한편 Cauchy's surface area formula에 의하면, \$ A(\theta, \phi) \$는 아래와 같이 표기할 수 있다. \$ (\theta, \phi) \$는 각각 \$ z \$축과 시선 벡터 간 각도, \$ x \$축과 시선 벡터 간 각도이다.

$$A(\theta, \phi) = \int_0^\pi \int_0^{2\pi} \mathbf{n} \cdot \mathbf{v} dS$$

여기서 unit normal vector \$ \mathbf{n} \$과 시선 벡터 \$ \mathbf{v} \$는 \$ F = \frac{x^2}{a^2} + \frac{y^2}{b^2} + \frac{z^2}{c^2} - 1 \$에 대해 아래와 같이 정리된다.

$$\mathbf{n} = \frac{\nabla F}{\|\nabla F\|} = \frac{\left(\frac{2x}{a^2}, \frac{2y}{b^2}, \frac{2z}{c^2} \right)}{\sqrt{\left(\frac{2x}{a^2} \right)^2 + \left(\frac{2y}{b^2} \right)^2 + \left(\frac{2z}{c^2} \right)^2}}, \quad \mathbf{v} = (\sin \theta \cos \phi, \sin \theta \sin \phi, \cos \theta)$$

그리고 \$ x = a \sin \theta' \cos \phi' \$, \$ y = b \sin \theta' \sin \phi' \$, \$ z = c \cos \theta' \$로 매개화된 영역 \$ P(\theta', \phi') \$에 대해,

$$dS = \left| \frac{\partial \mathbf{P}}{\partial \theta'} \times \frac{\partial \mathbf{P}}{\partial \phi'} \right| d\theta' d\phi'$$

라 나타내면 아래와 같다.

$$dS = \sin \theta' \sqrt{c^2 \sin^2 \theta' (b^2 \cos^2 \phi' + a^2 \sin^2 \phi') + a^2 b^2 \cos^2 \theta'} d\theta' d\phi'$$

이를 모두 고려하여 적분한 결과를 통해, 사영된 영역 및 밝기는 아래와 같이 구할 수 있다.

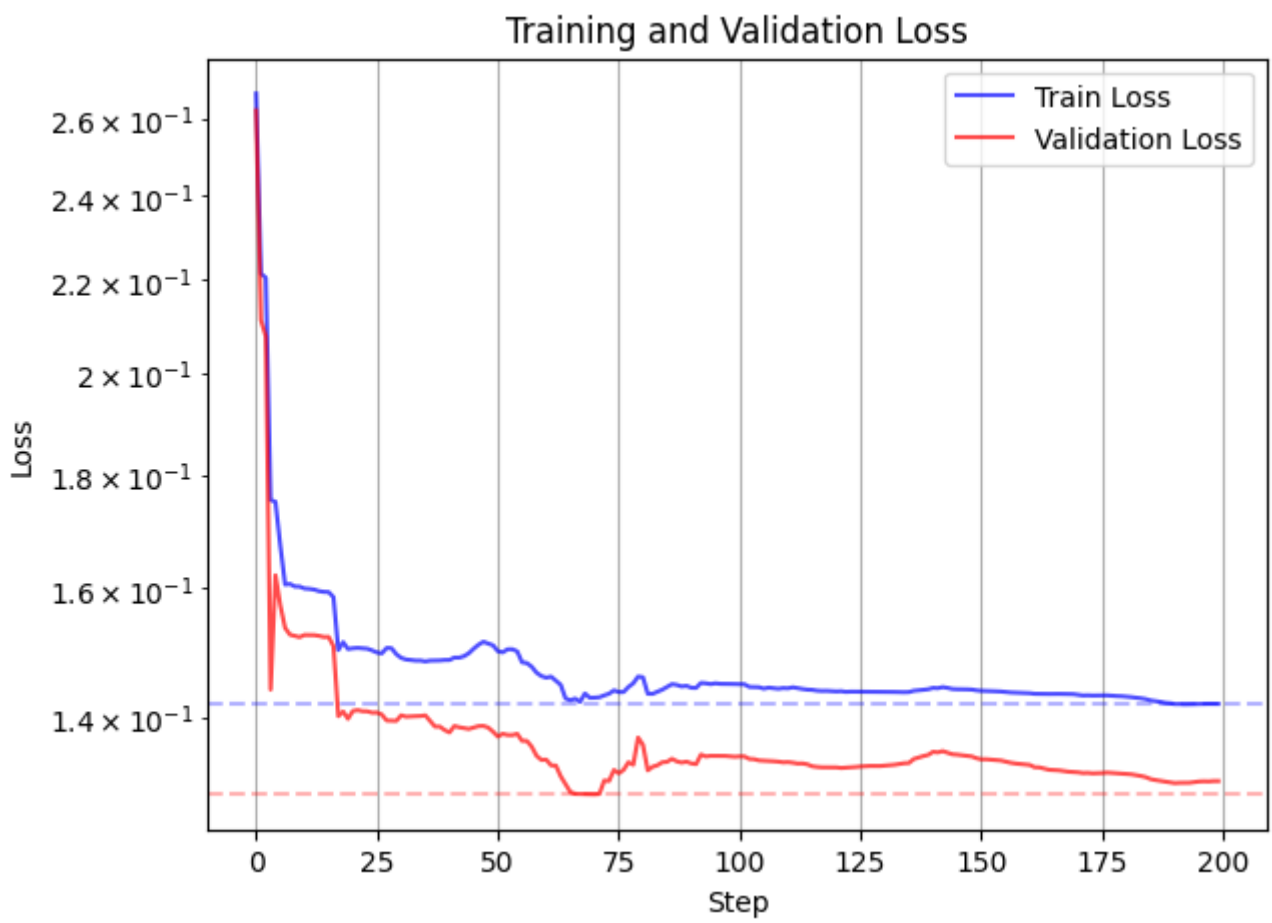
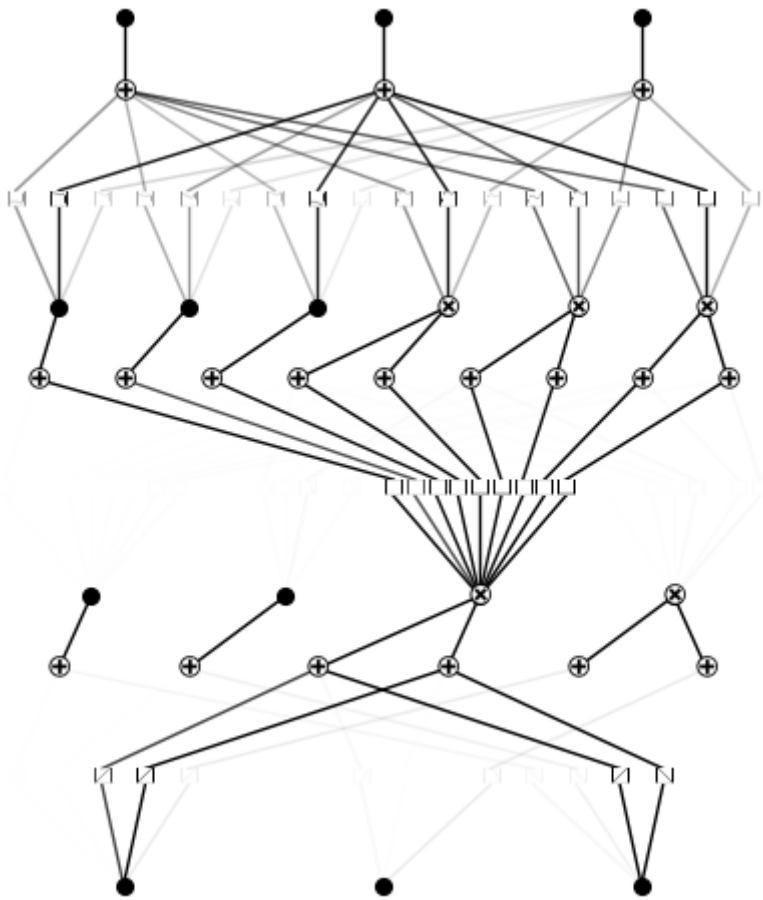
$$A(\theta, \phi) = \frac{\pi abc}{\sqrt{a^2 \sin^2 \theta \cos^2 \phi + b^2 \sin^2 \theta \sin^2 \phi + c^2 \cos^2 \theta}} \propto B(\theta, \phi)$$

10.10

DAMIT dataset web crawling 코드 작성: 1280여개 특이해 하나만 존재하는 소행성 물리량 데이터셋 구성 완료.

11.07

- 최종 컨설팅
- KAN 훈련 완료 및 하이퍼파라미터 튜닝 완료



- KAN interpretation 및 주요 결과 정리